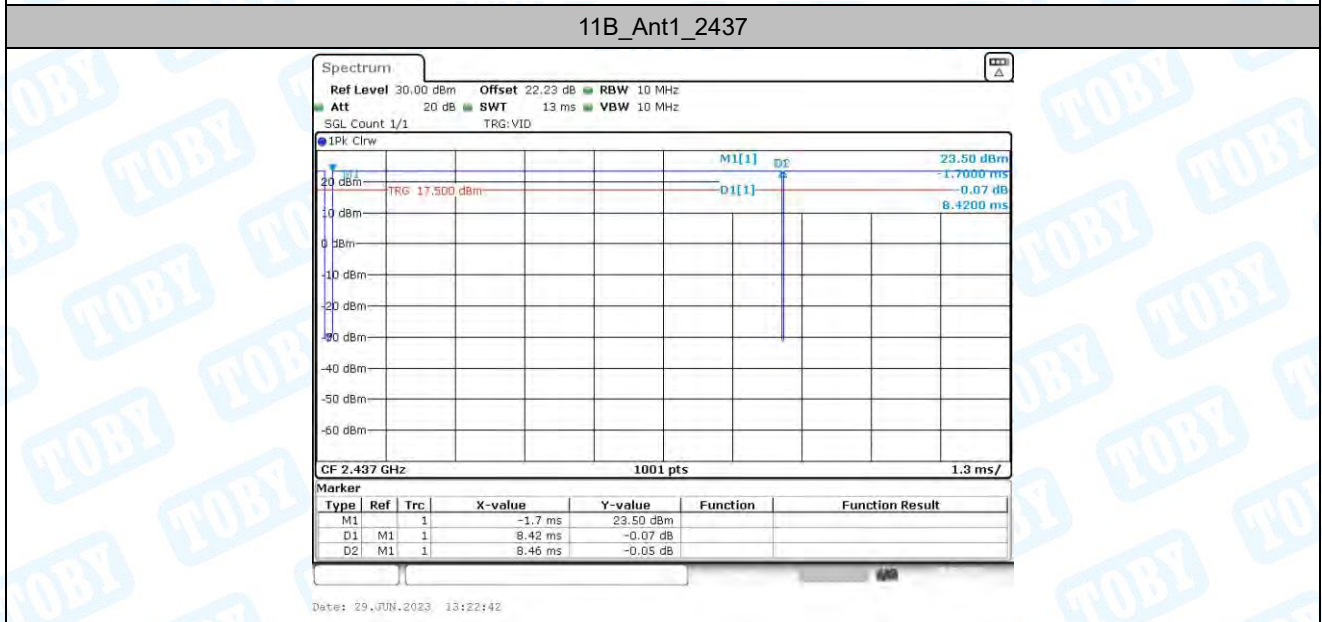
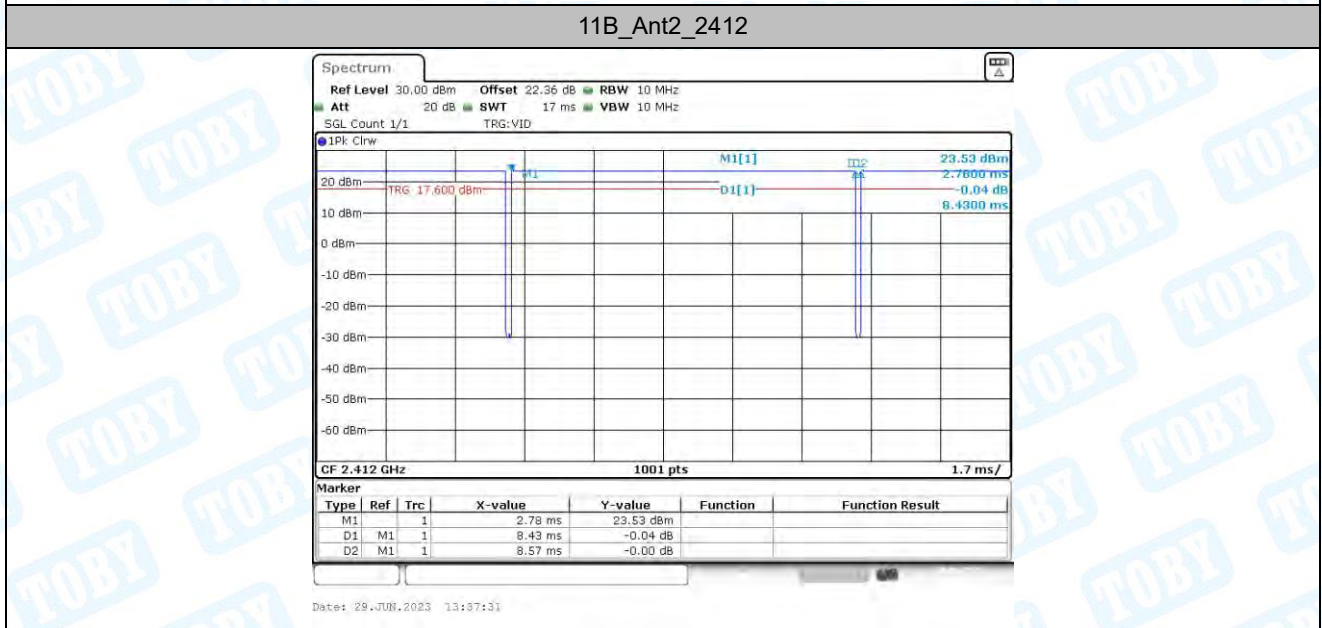
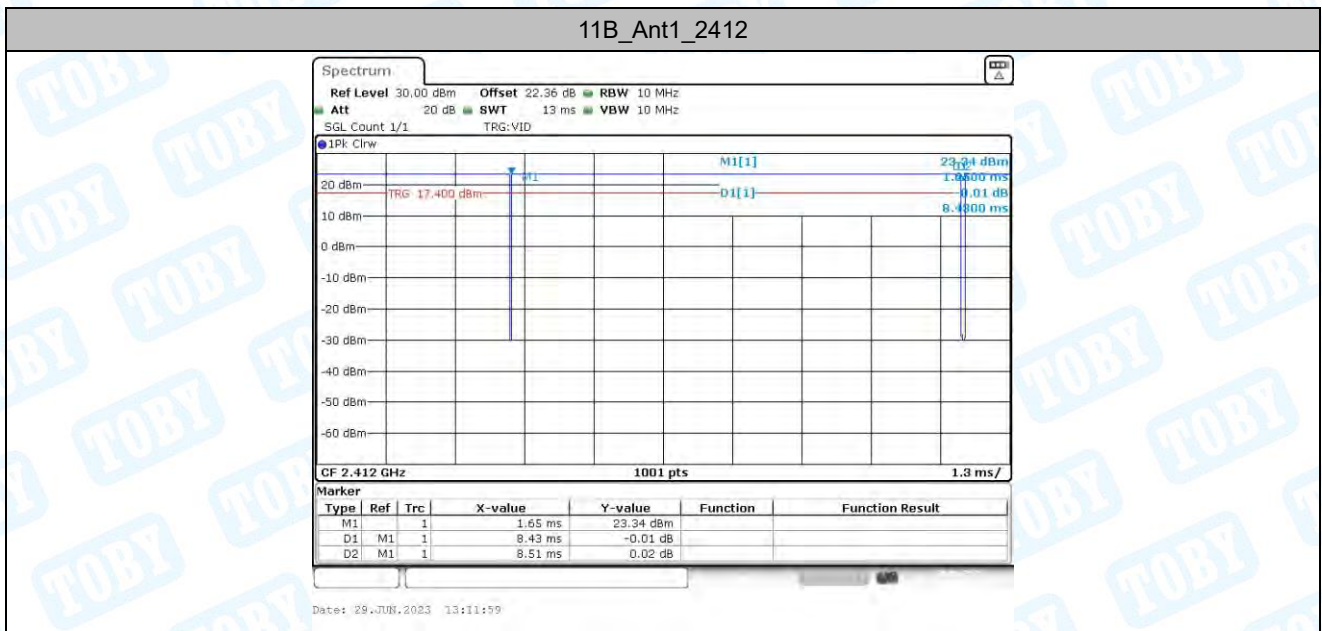
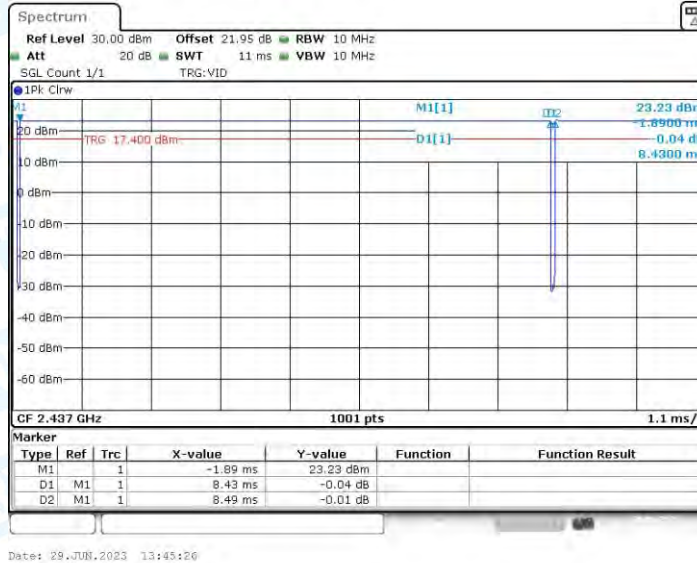


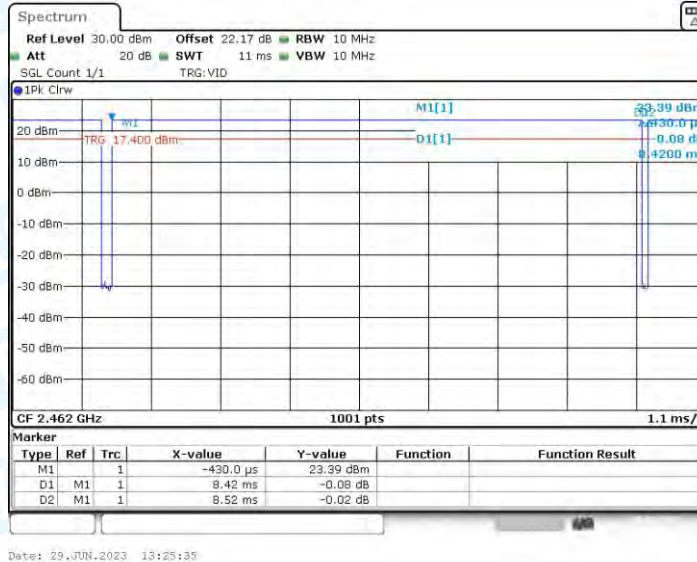
6.2. Test Graphs



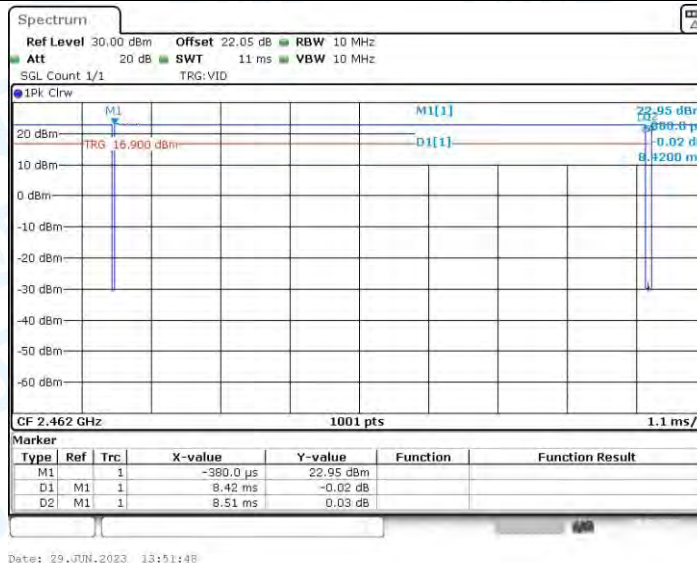
11B_Ant2_2437



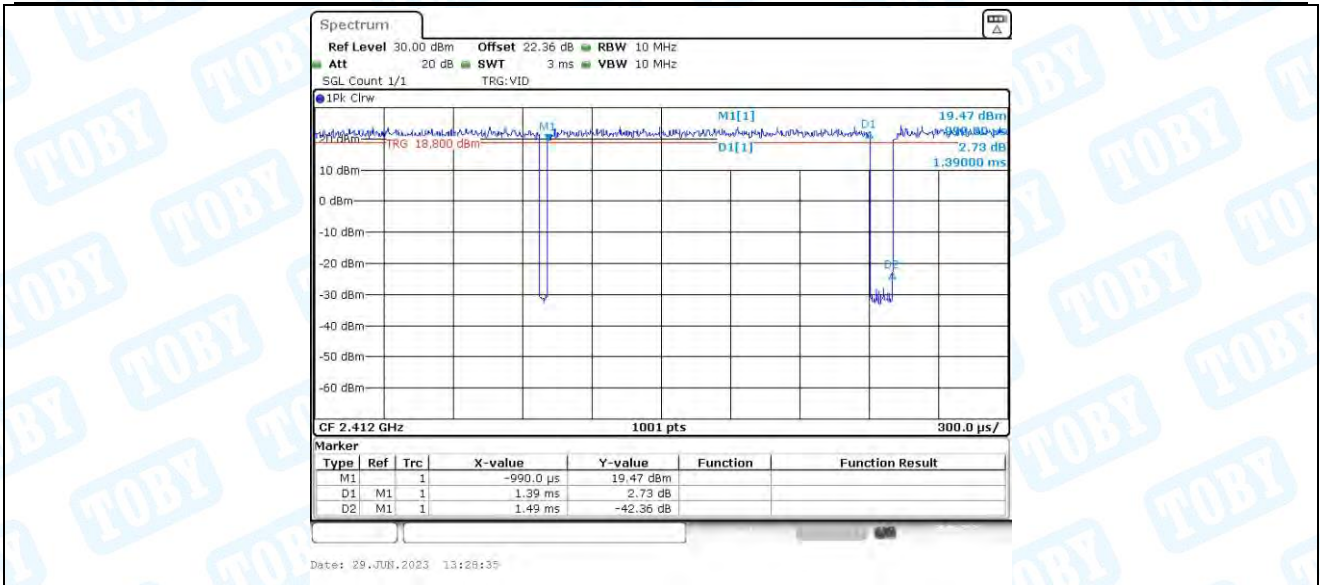
11B_Ant1_2462



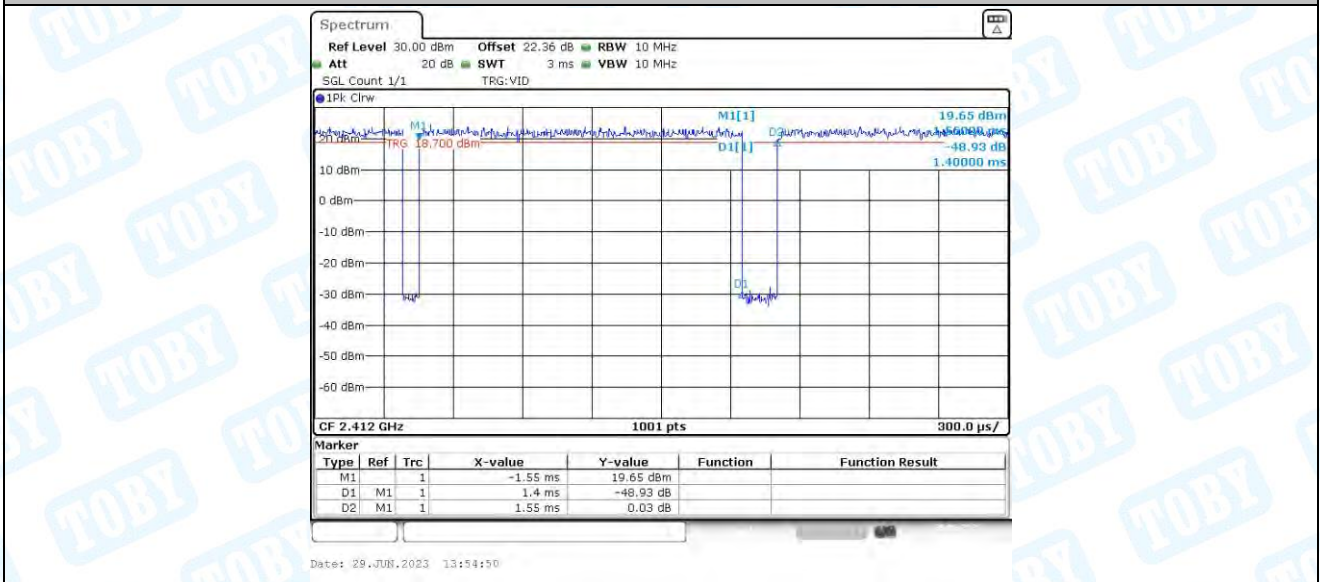
11B_Ant2_2462



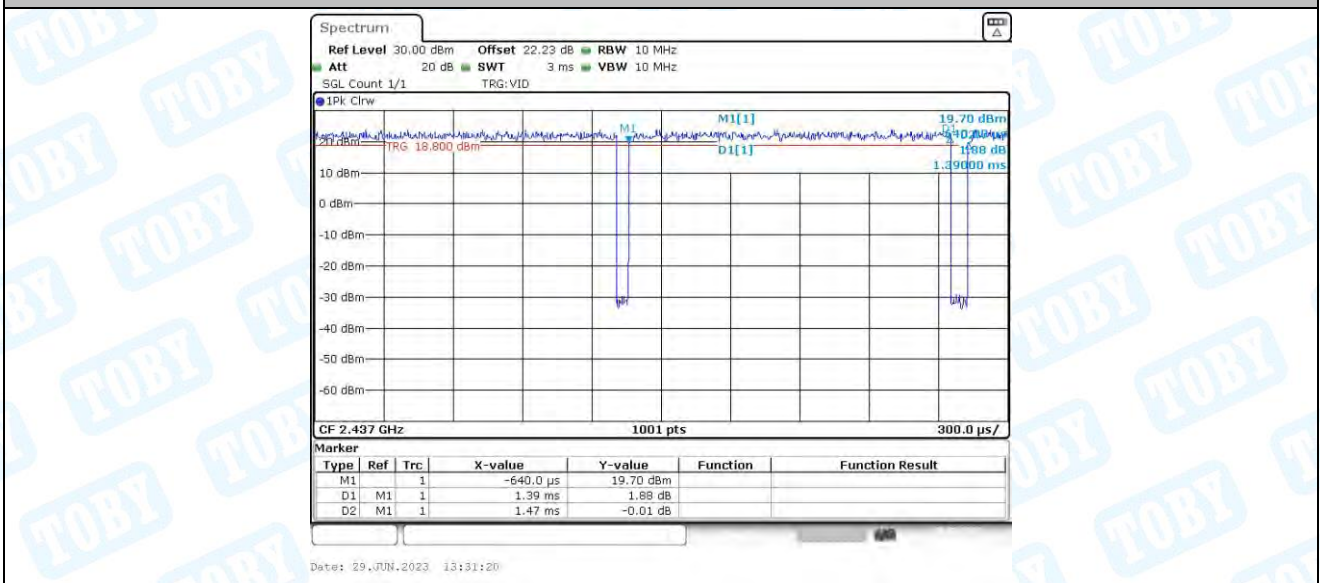
11G_Ant1_2412



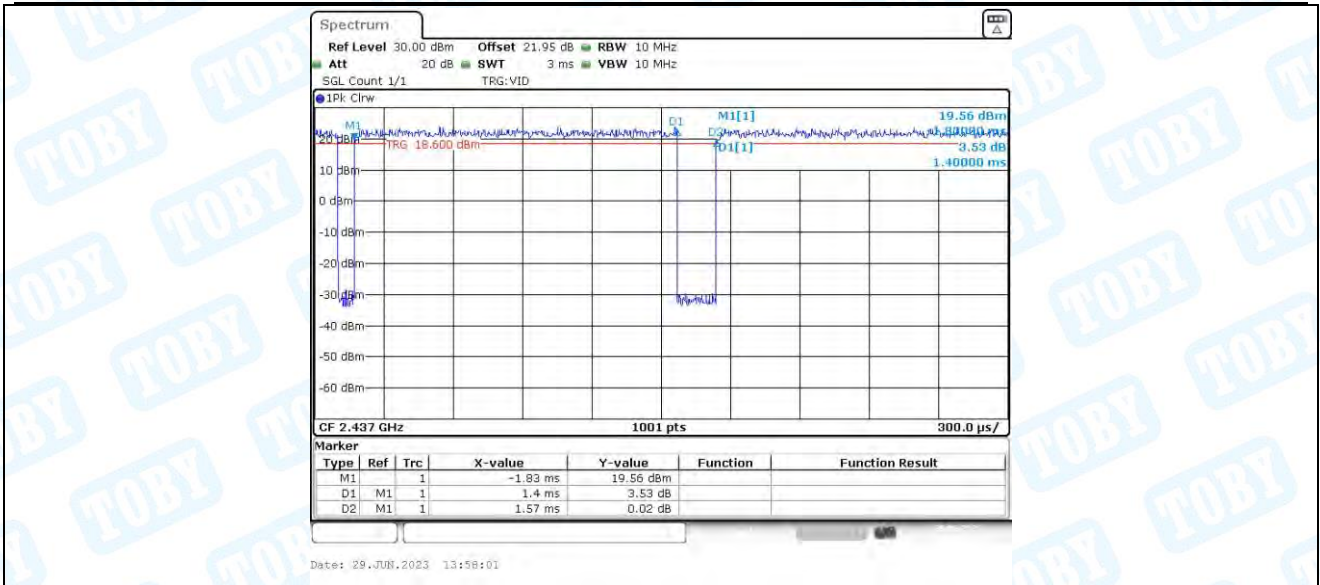
11G_Ant2_2412



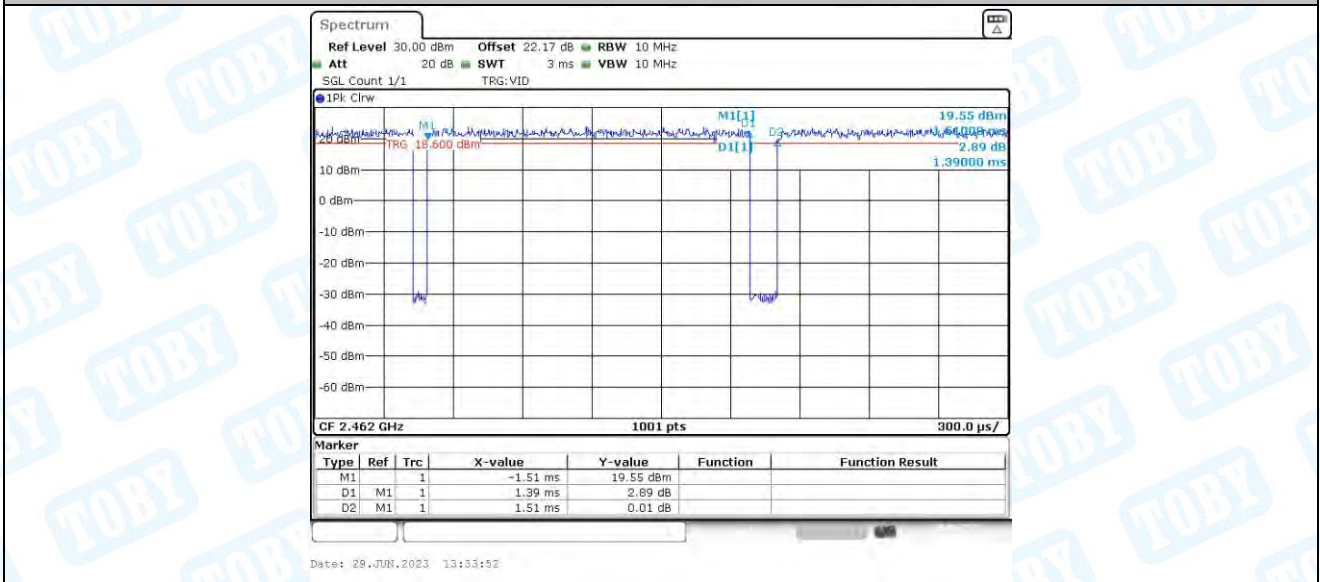
11G_Ant1_2437



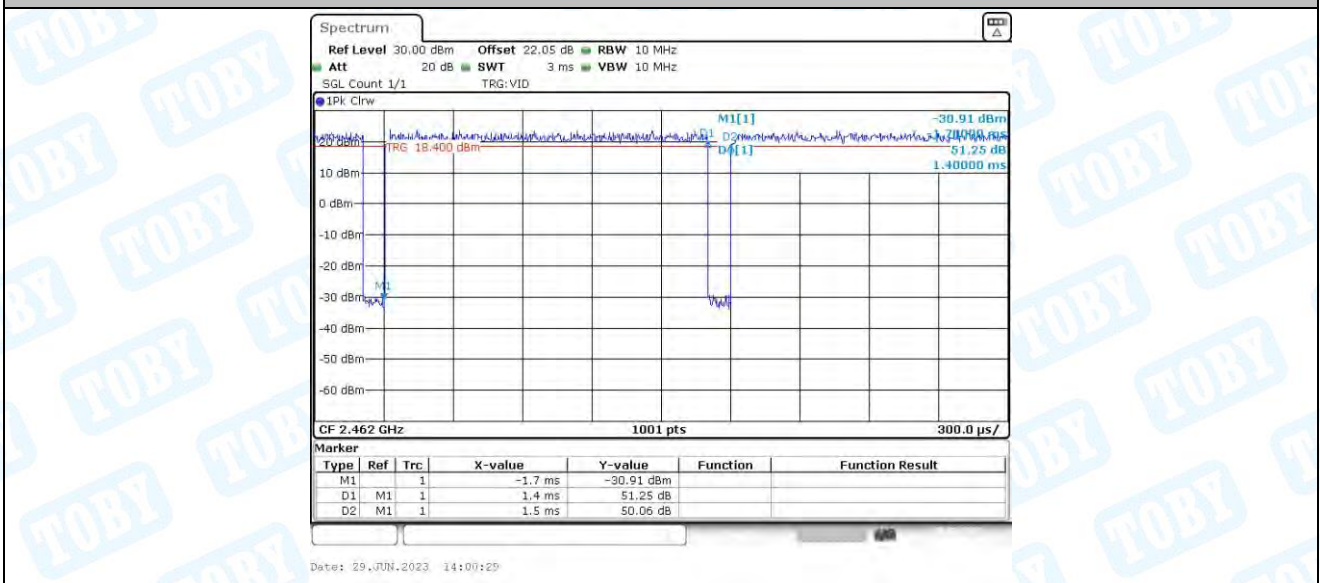
11G_Ant2_2437



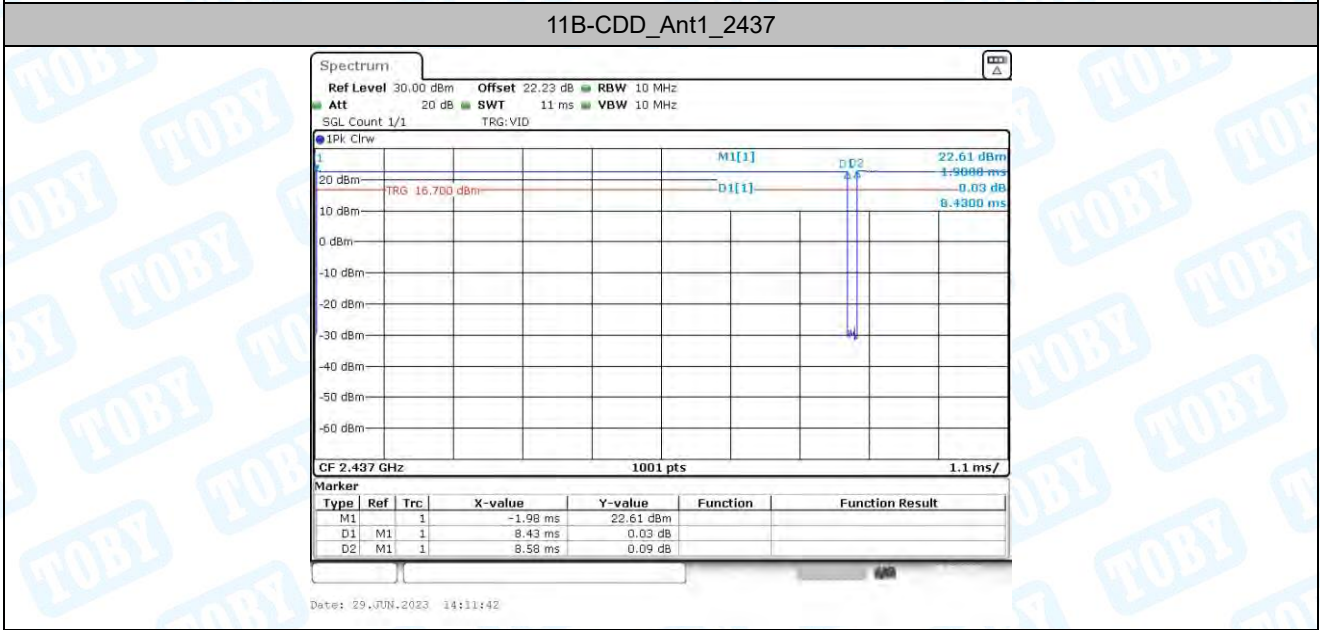
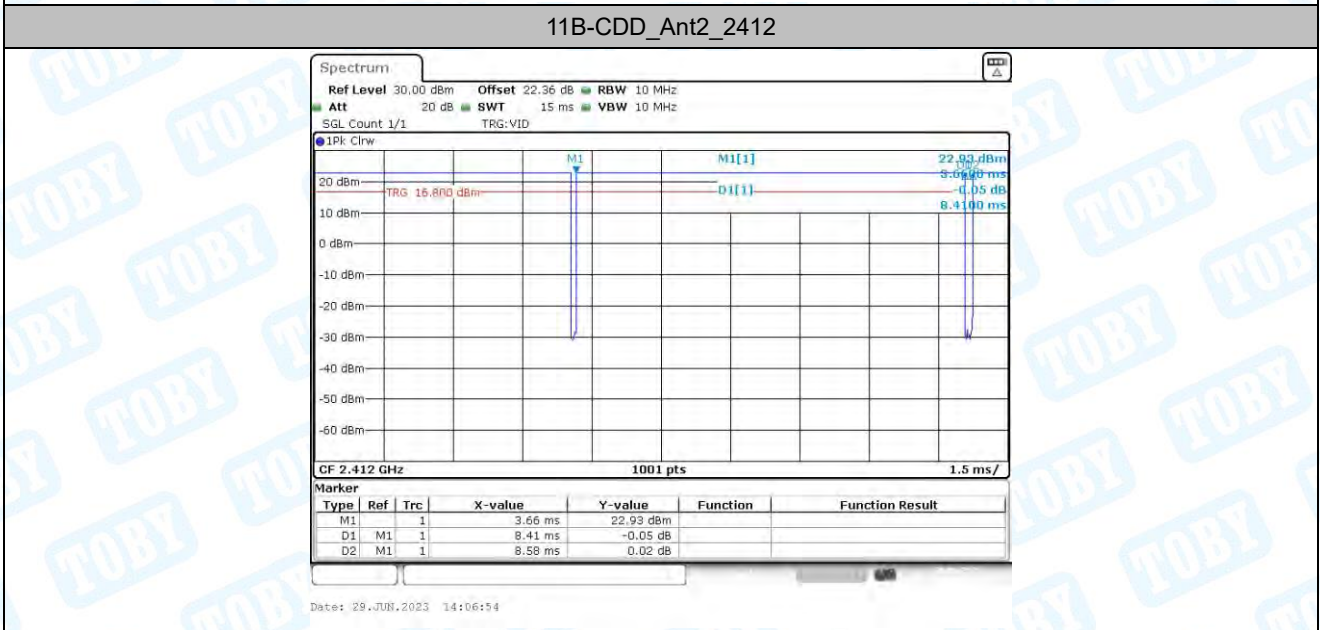
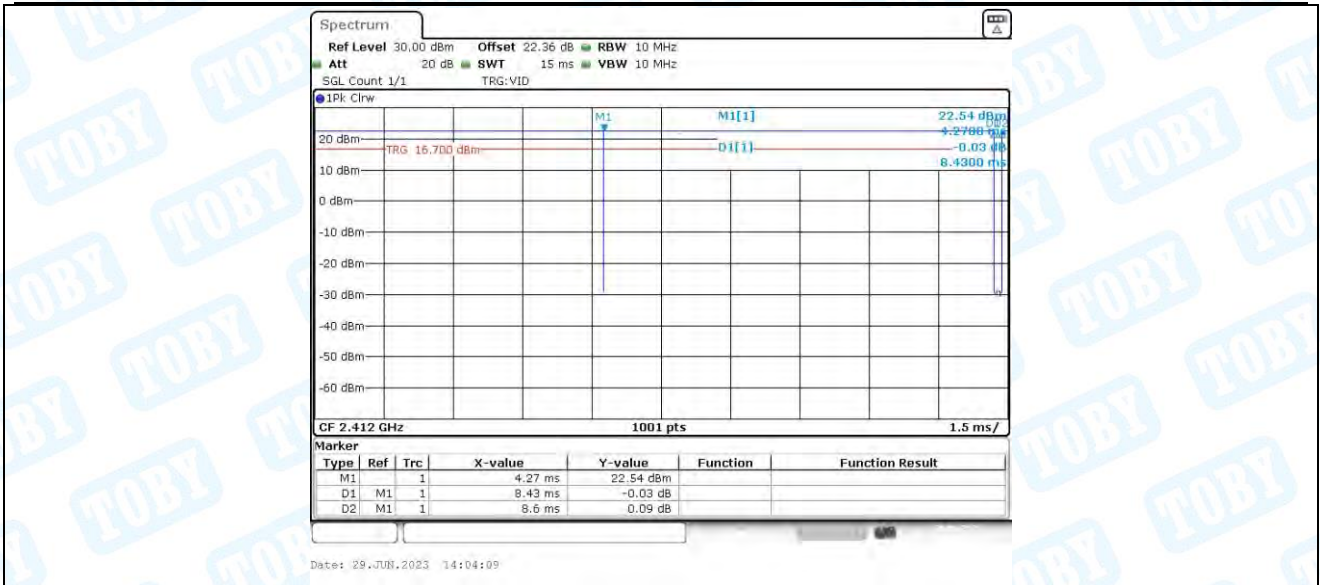
11G_Ant1_2462



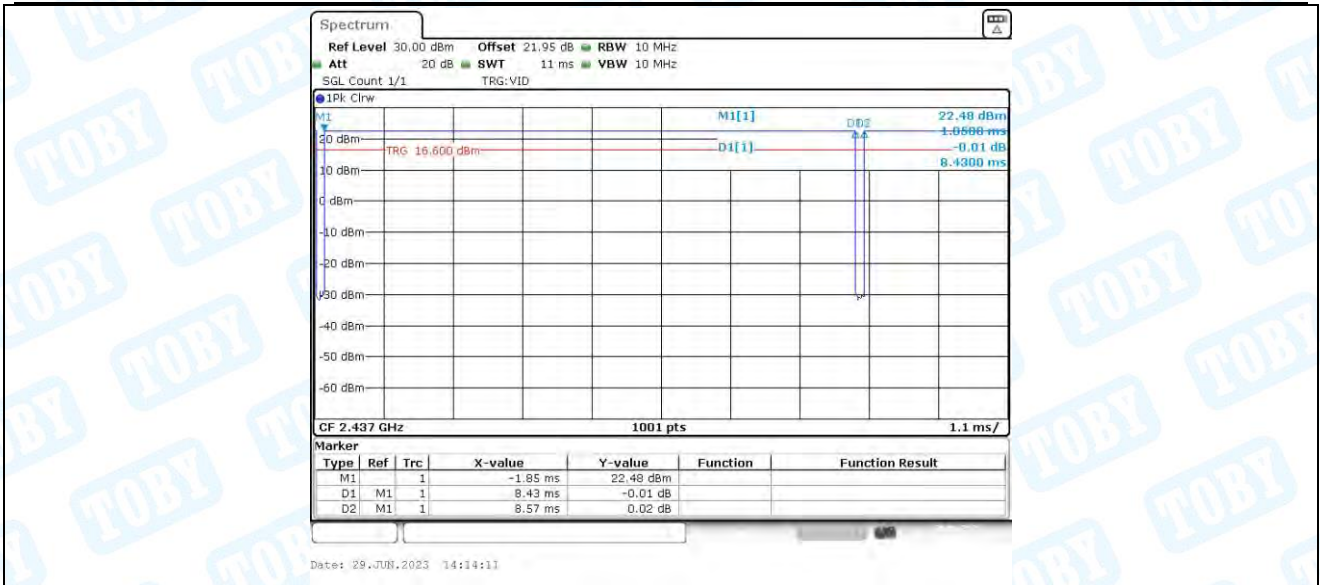
11G_Ant2_2462



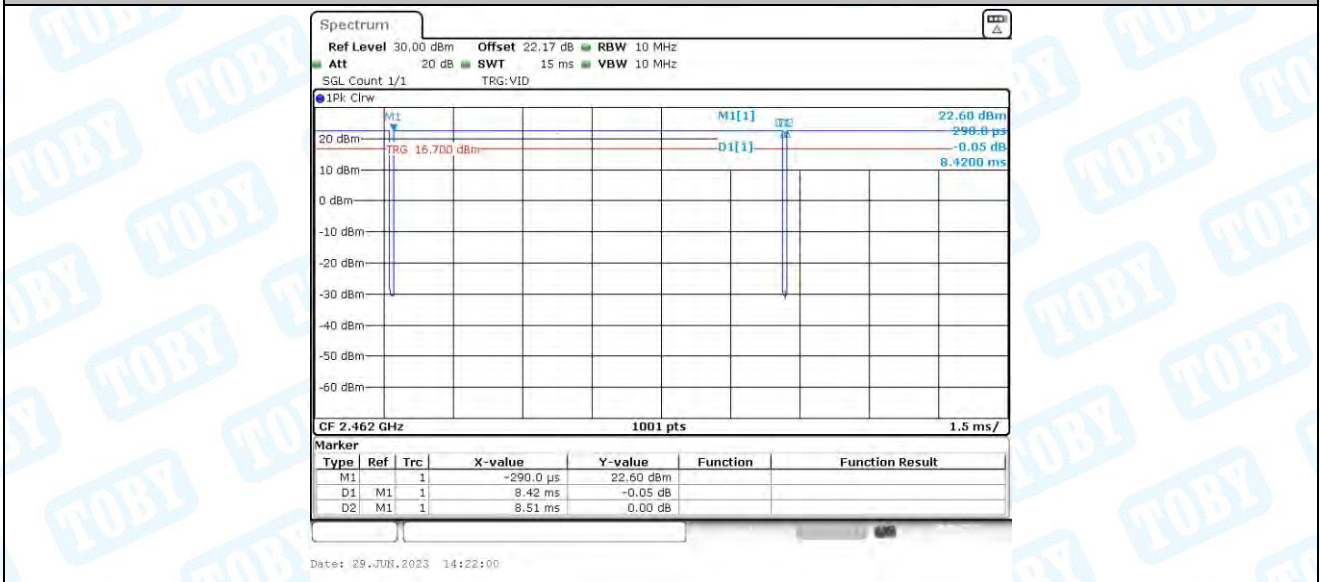
11B-CDD_Ant1_2412



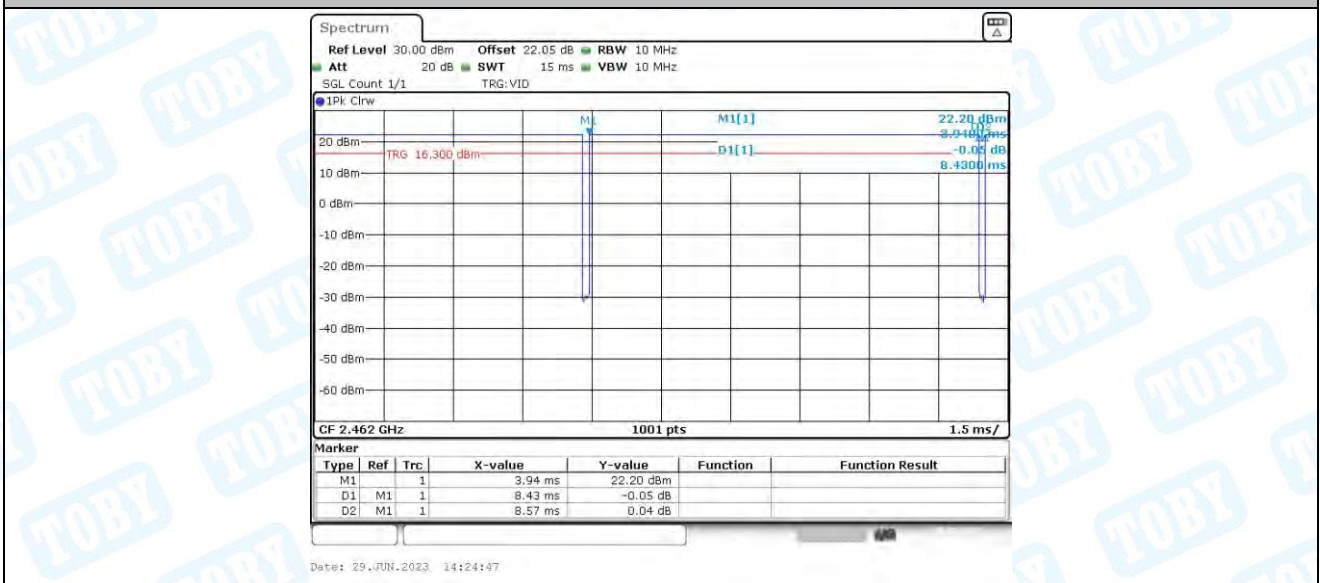
11B-CDD_Ant2_2437



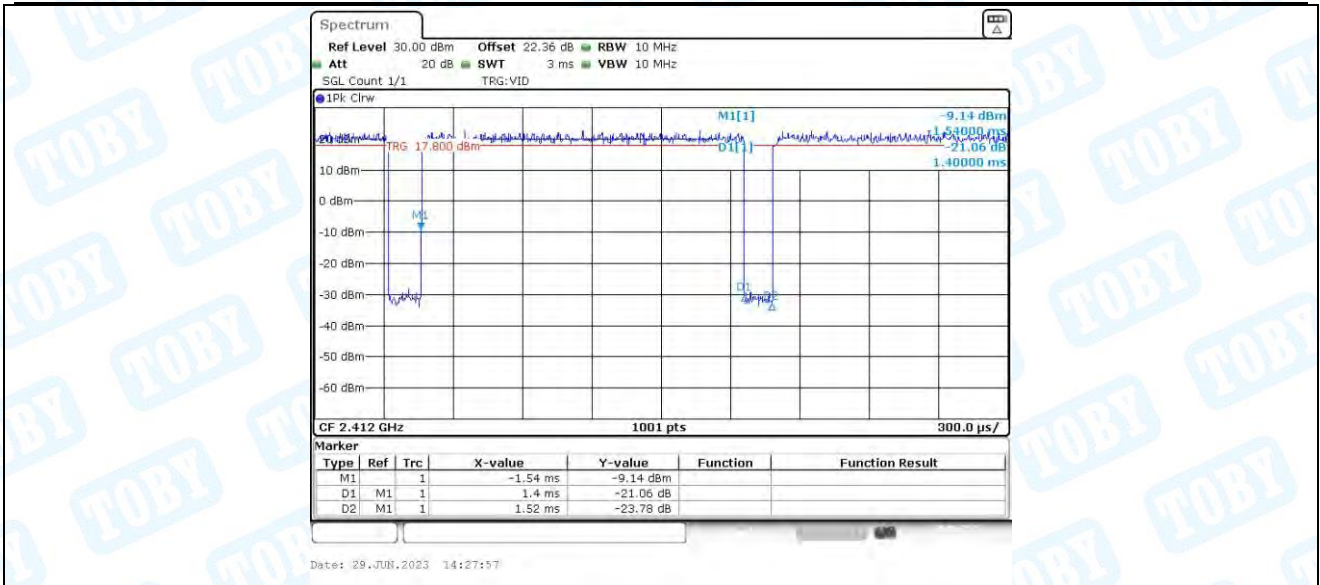
11B-CDD_Ant1_2462



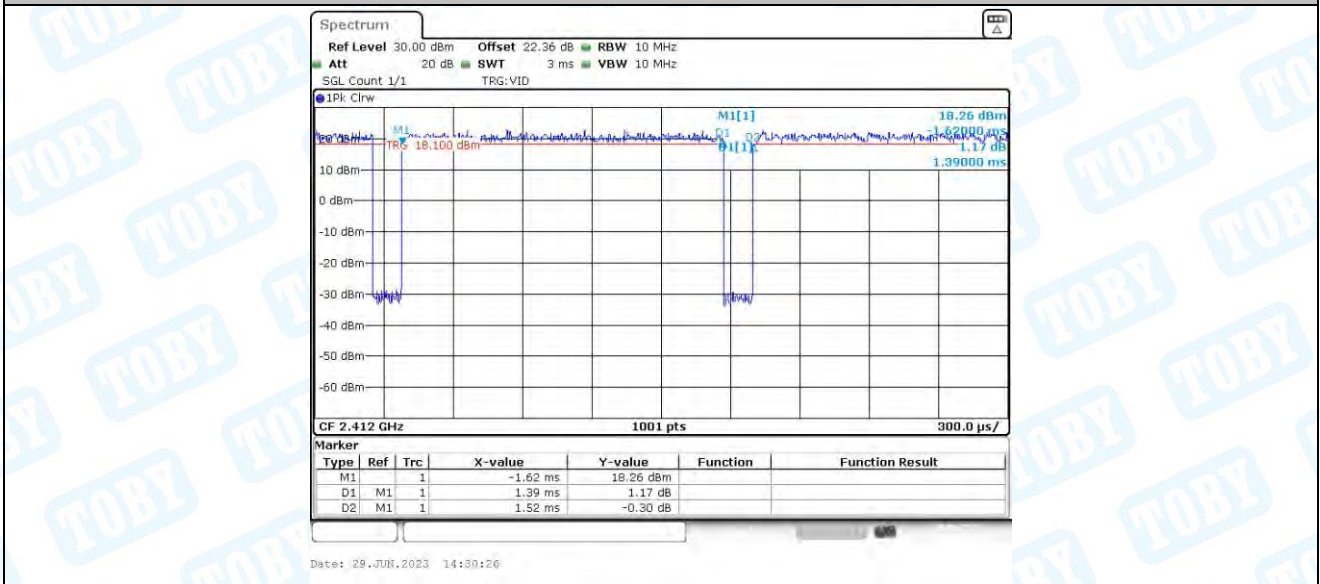
11B-CDD_Ant2_2462



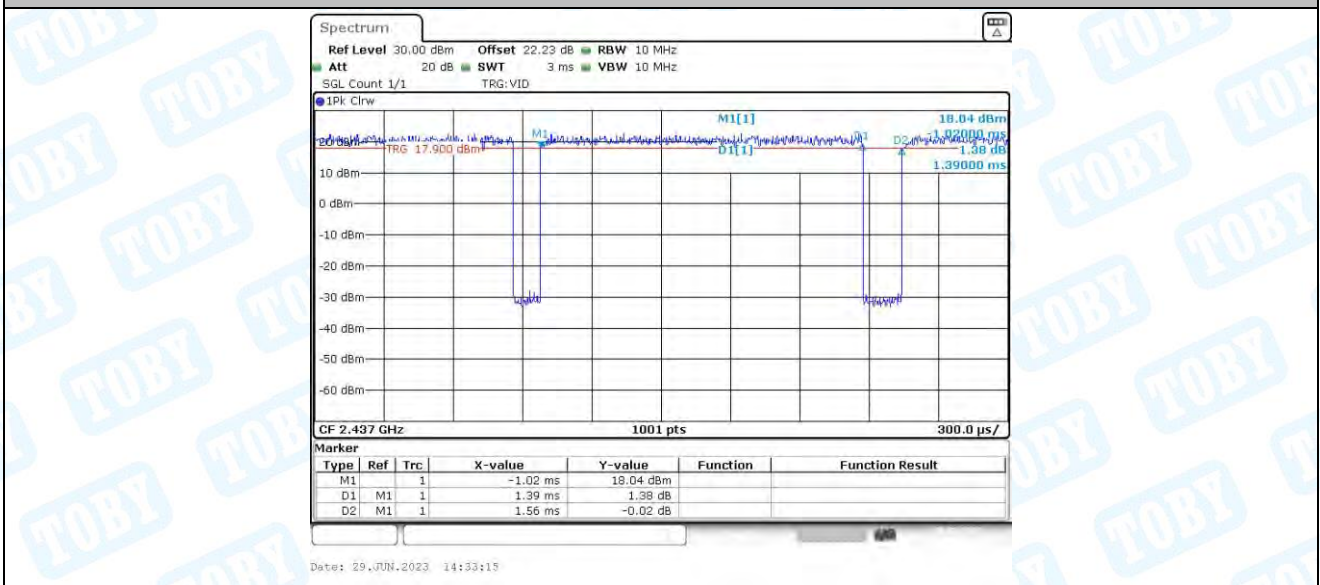
11G-CDD_Ant1_2412



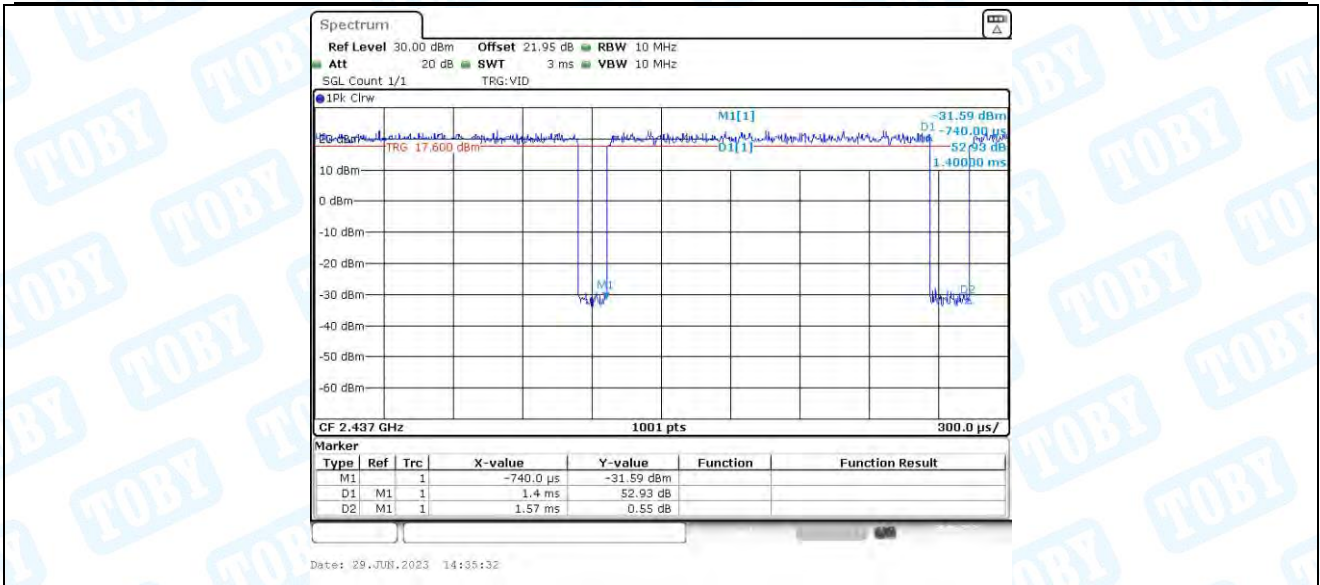
11G-CDD_Ant2_2412



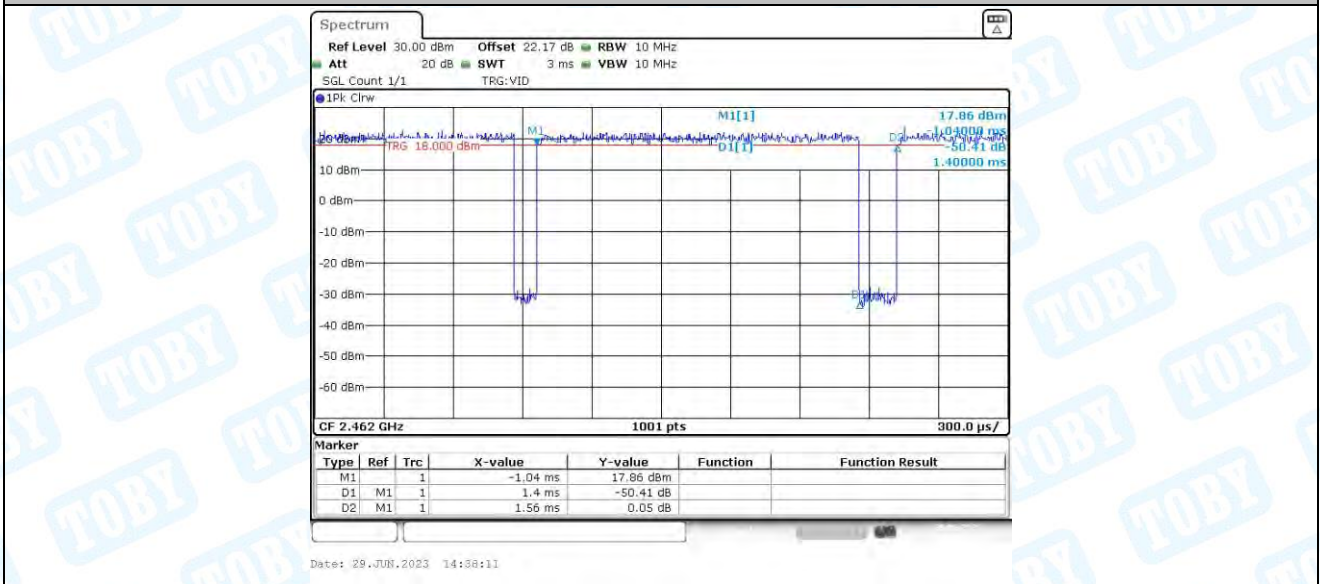
11G-CDD_Ant1_2437



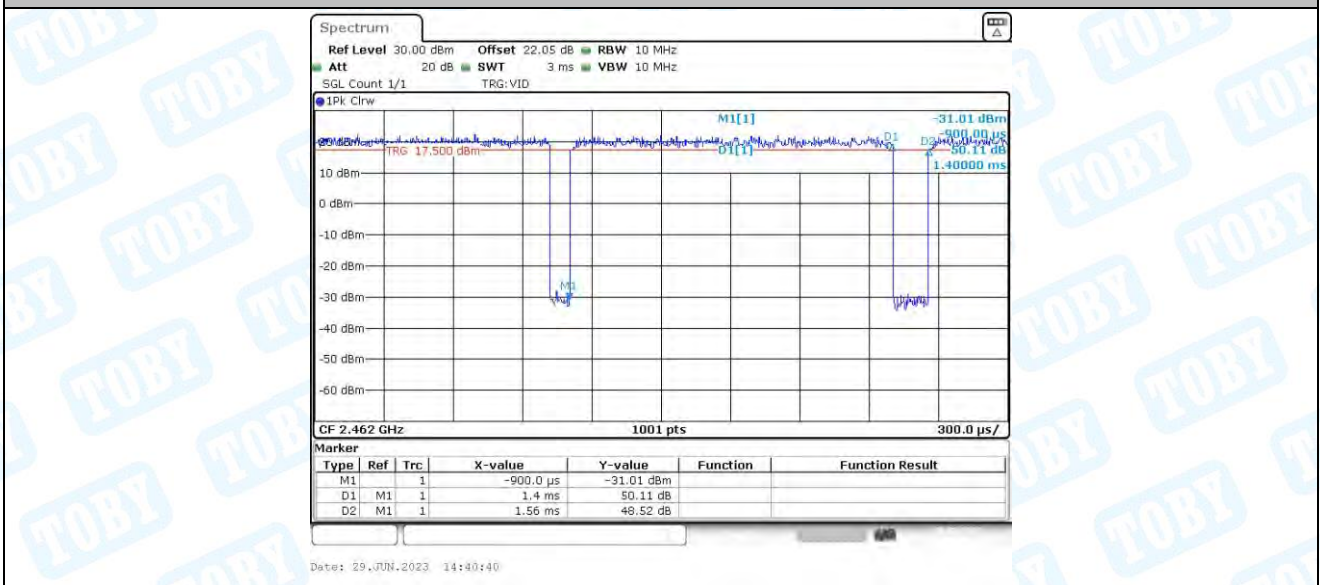
11G-CDD_Ant2_2437



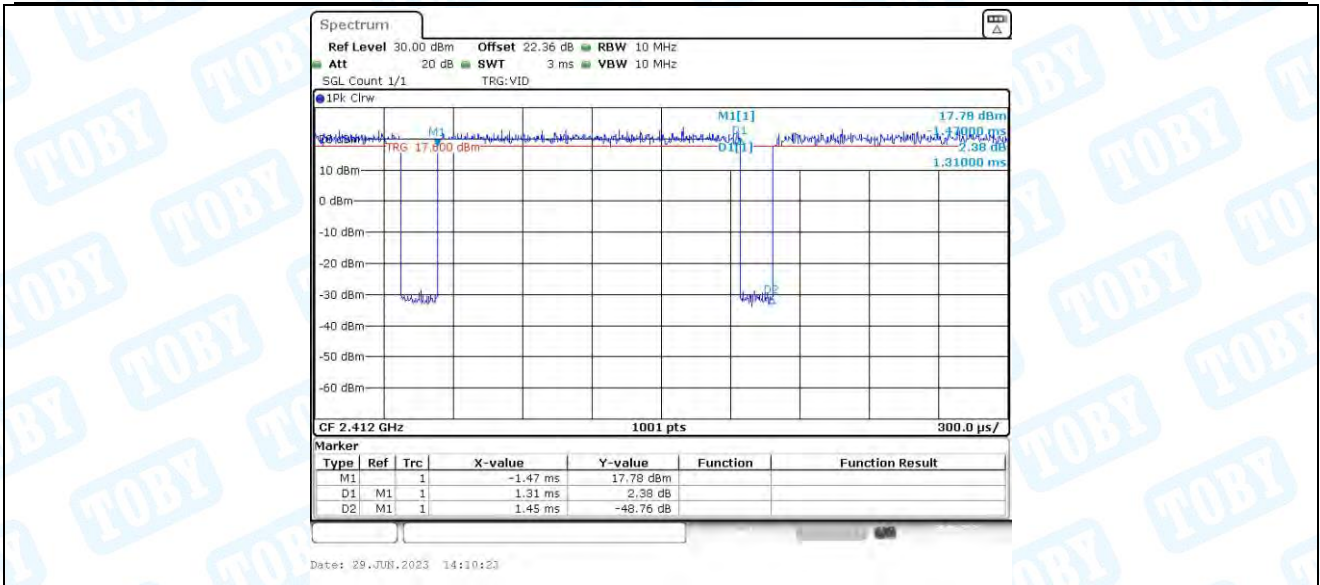
11G-CDD_Ant1_2462



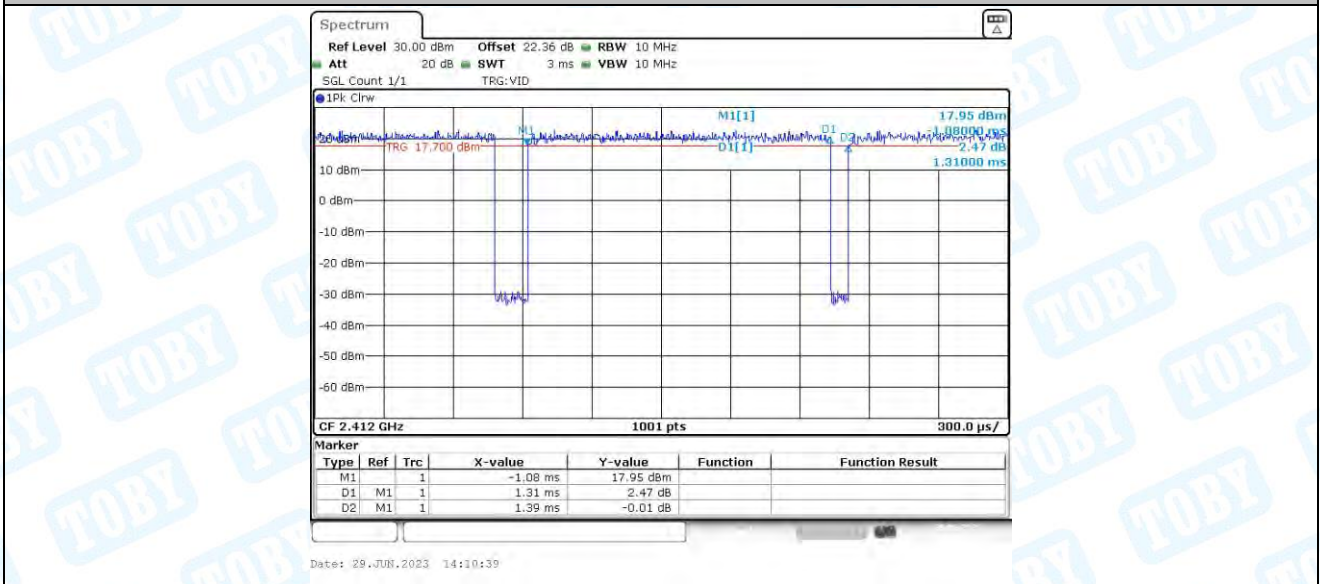
11G-CDD_Ant2_2462



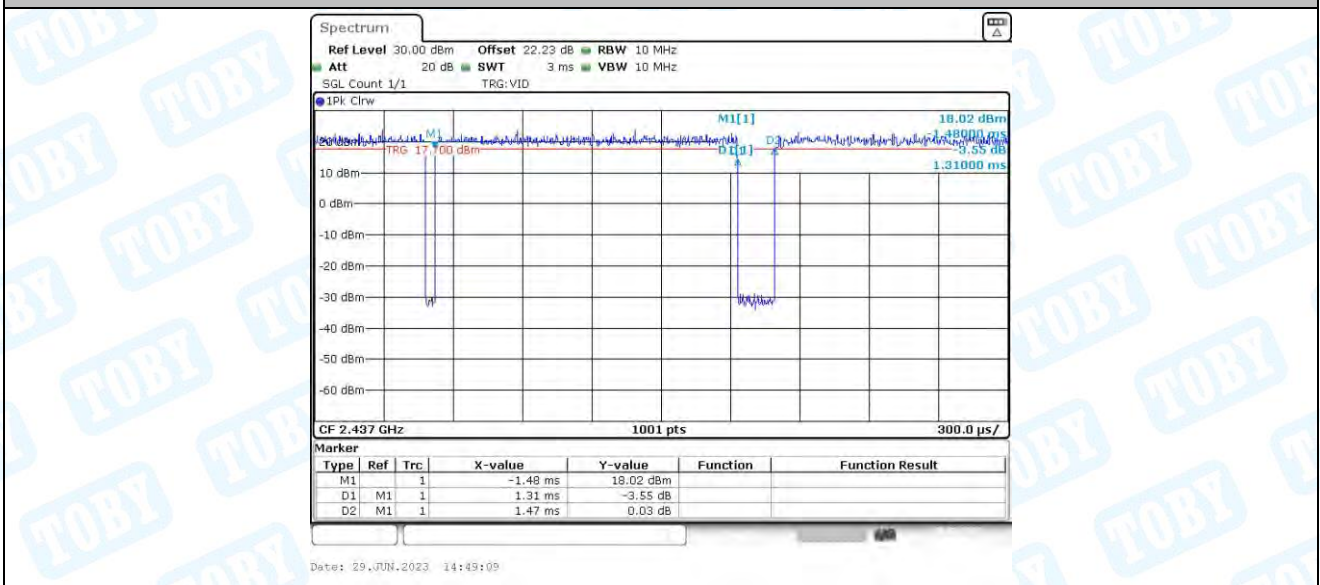
11N20-CDD_Ant1_2412



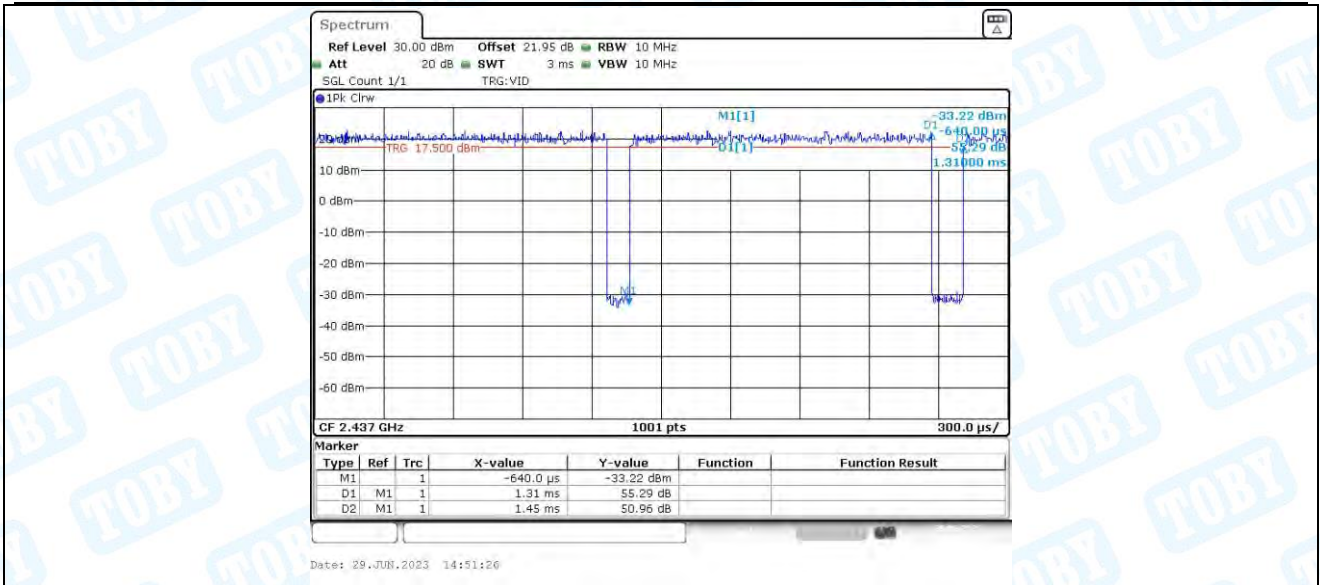
11N20-CDD_Ant2_2412



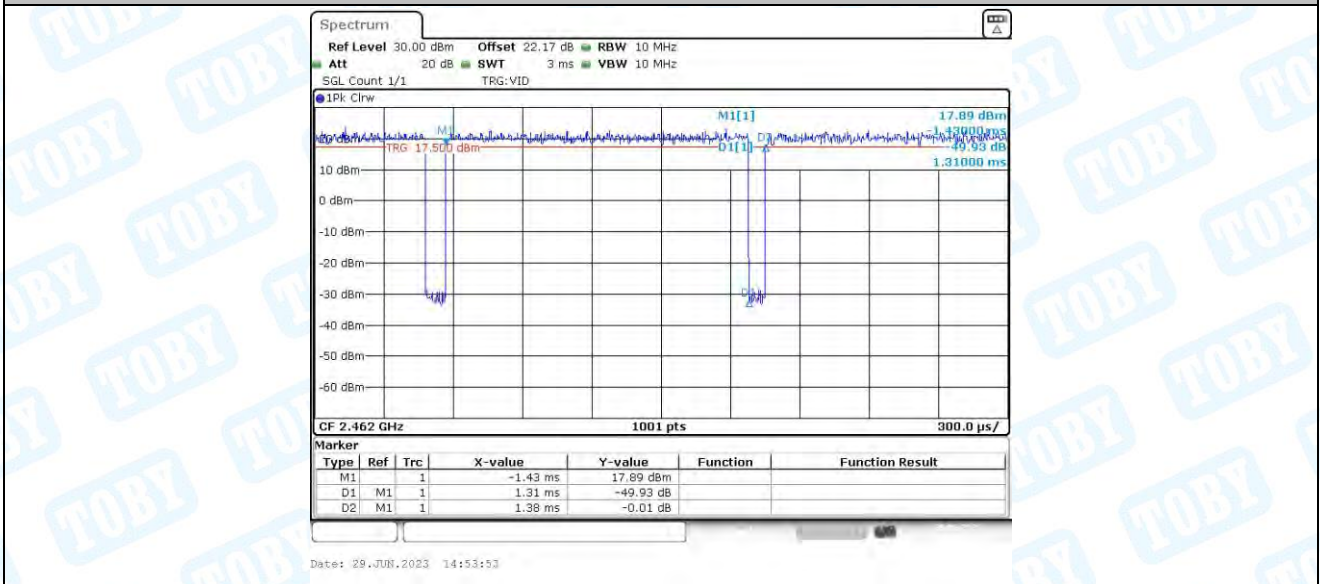
11N20-CDD_Ant1_2437



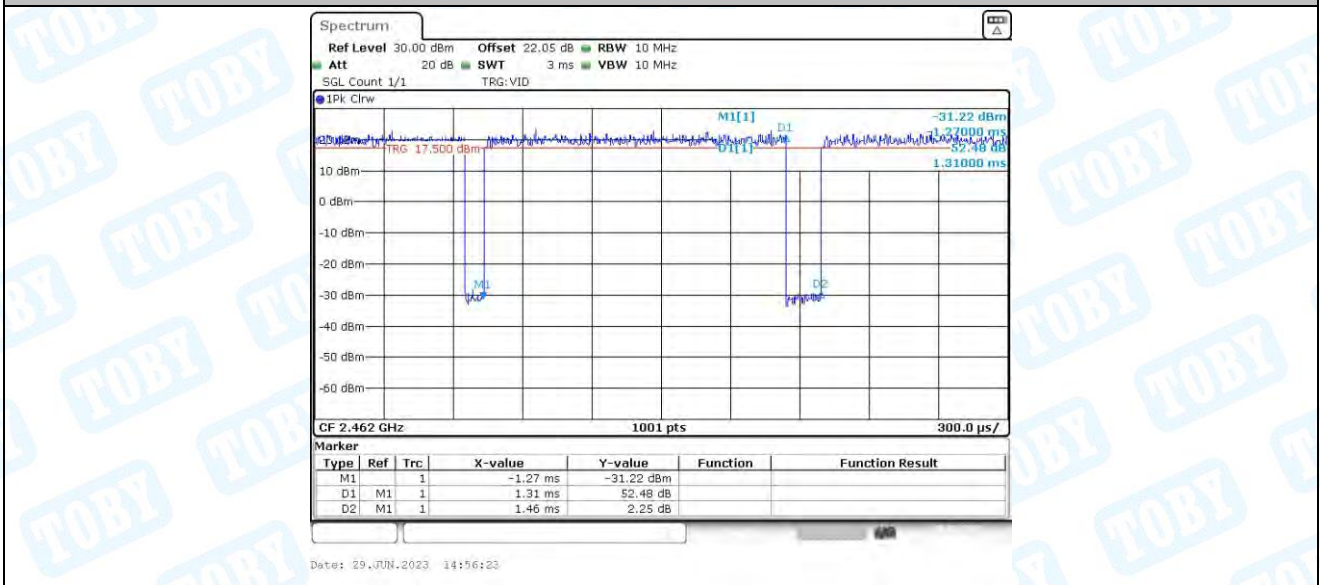
11N20-CDD_Ant2_2437



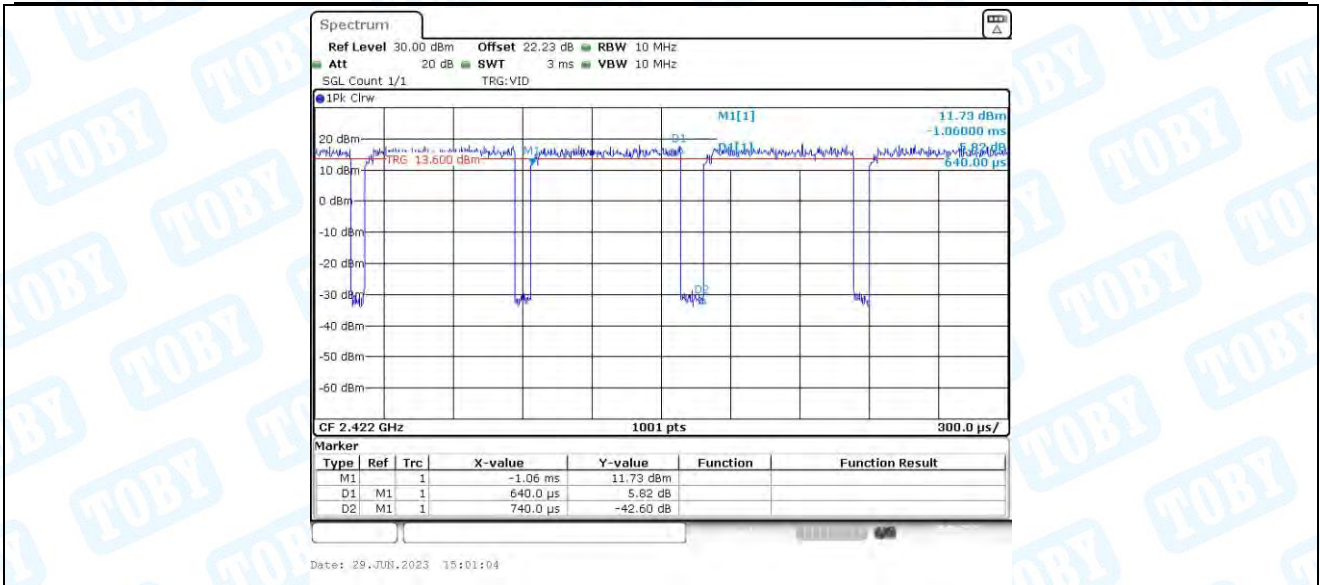
11N20-CDD_Ant1_2462



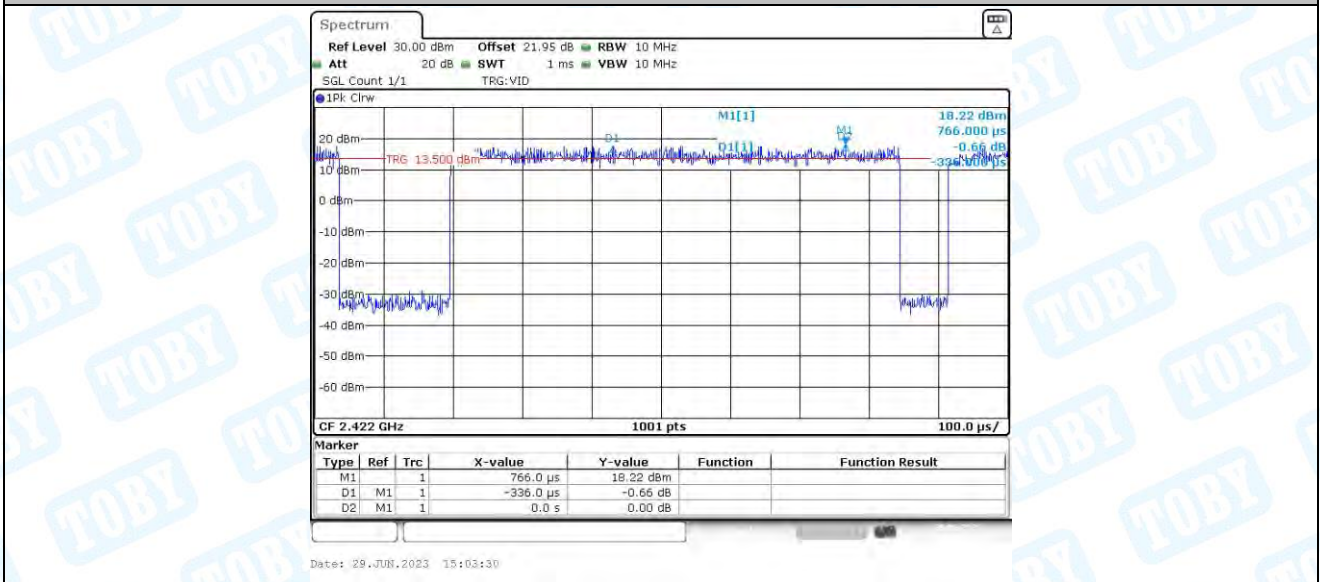
11N20-CDD_Ant2_2462



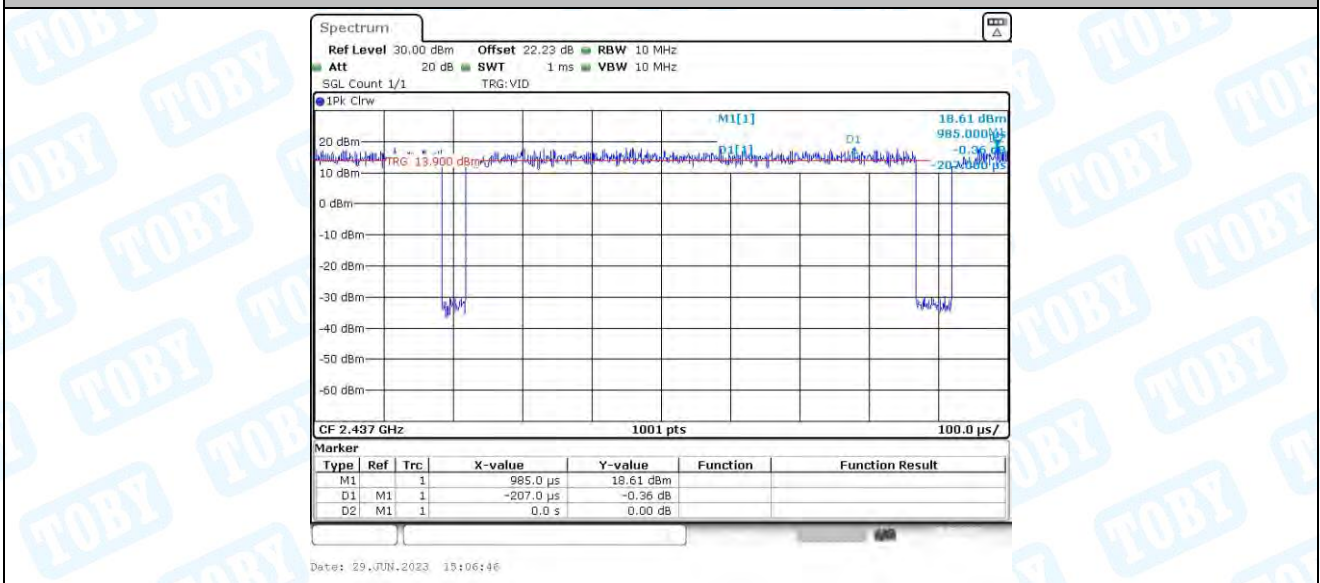
11N40-CDD_Ant1_2422



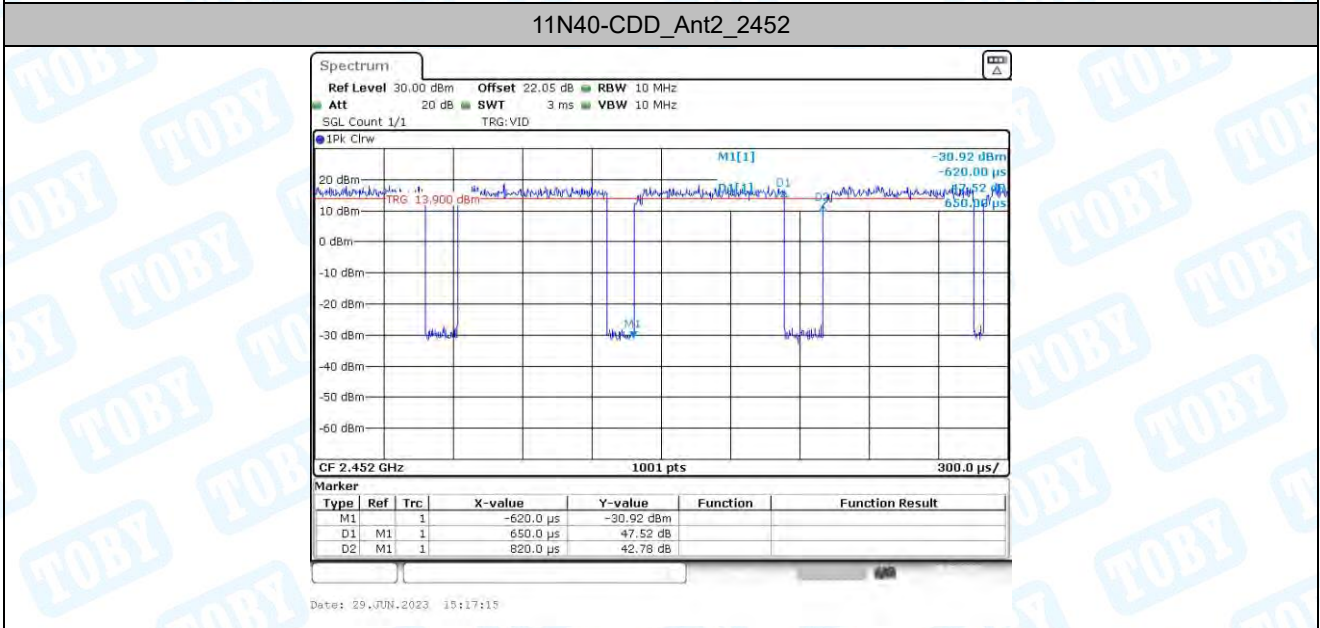
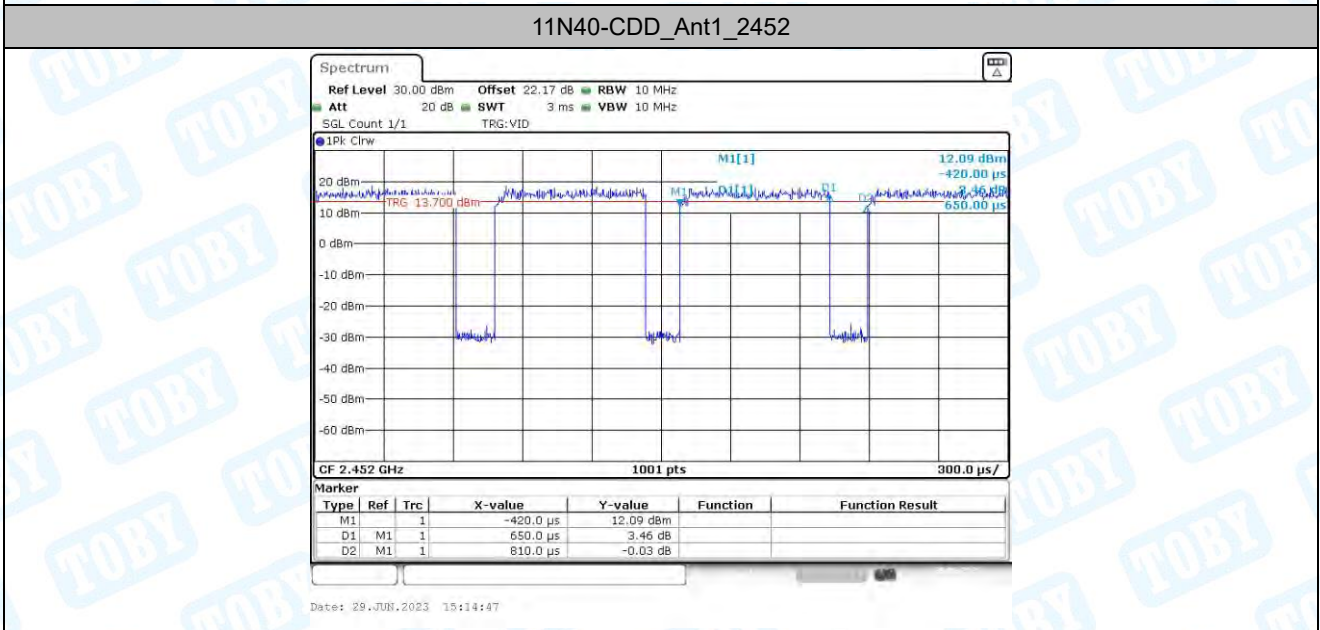
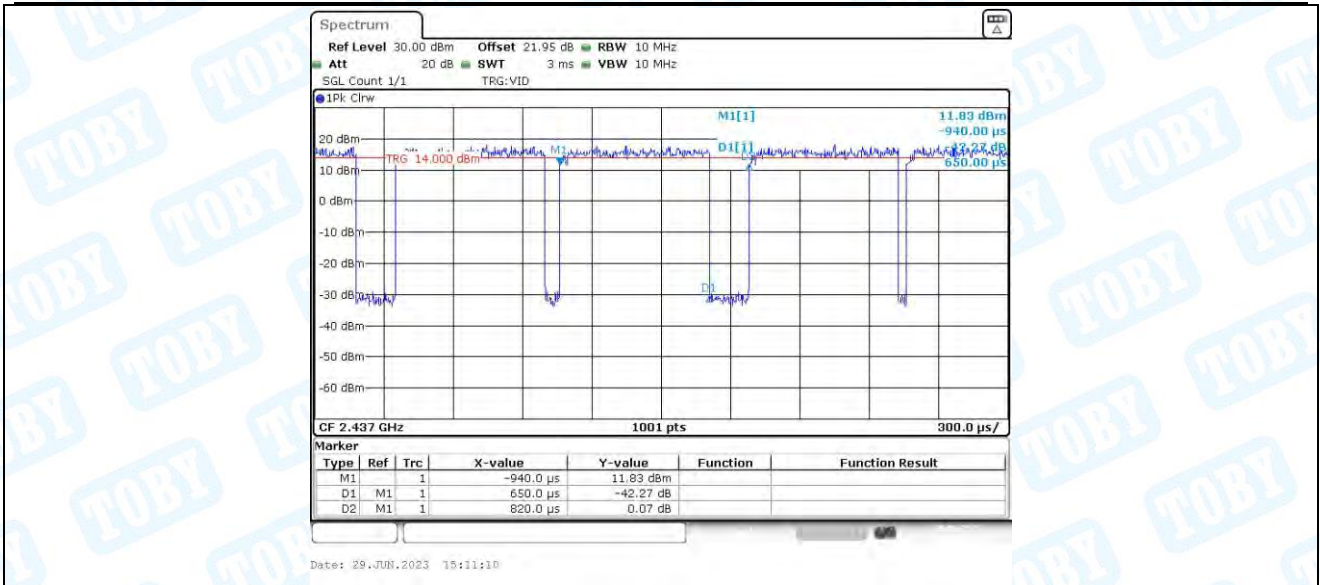
11N40-CDD_Ant2_2422



11N40-CDD_Ant1_2437



11N40-CDD_Ant2_2437



-----End of the report-----